

ВЛИЯНИЕ ФОРМЫ ОСЕСИММЕТРИЧНОЙ НАГРУЗКИ НА НАПРЯЖЕННО-ДЕФОРМИРОВАННОЕ СОСТОЯНИЕ УПРУГОПЛАСТИЧЕСКОГО ПОЛУПРОСТРАНСТВА

Получены выражения, описывающие напряженно-деформированное состояние при нагружении упругопластического полупространства осесимметричной нагрузкой вида $p(r) = p_0(1 - r^2/a^2)^\beta$, где $\beta = 0 \dots 0,5$. Рассмотрены условия начала пластической деформации в приповерхностном слое и на поверхности полупространства в зависимости от параметра β .

Ключевые слова: упругопластическое полупространство, осесимметричная нагрузка, критерий пластичности, напряженно-деформированное состояние.

В настоящее время аналитического решения контактной задачи для упругопластического силового взаимодействия не существует [1, 2] из-за сложностей учета упрочняемости материала в процессе нагружения. При внедрении сферического индентора в деформируемое полупространство различают упругую область, область ограниченной упругопластичности и область развитой упругопластичности [1, 3], однако единого взгляда на границы областей не существует. Так, например, в работе [2] различают критическую нагрузку $P_{кр}$ в момент появления пластической деформации на поверхности отпечатка в центре площадки контакта, когда величина интенсивности напряжений равна пределу текучести σ_Y . Там же отличают

$$P_{кр.конт.} = 0,425 P_{кр}$$

на контуре площадки контакта и

$$P_{кр.глуб.} = 0,0336 P_{кр}$$

на глубине $0,48a$ в приповерхностном слое, где a – радиус площадки контакта. Автором [1] предложена феноменологическая модель внедрения жесткой сферы в однородное упругопластическое упрочняемое твердое тело. В момент перехода от ограниченной пластичности к развитой выполняется соотношение

$$P_{о.пл.} = 0,5 P_{ж.пл.},$$

где $P_{о.пл.}$ – нагрузка в конце ограниченно-пластической области, $P_{ж.пл.}$ – нагрузка в контакте для жесткопластического тела, когда среднее давление равно предельной твердости.

В работе [3] автор определяет критическую нагрузку $P_{кр}$ перехода от ограниченной к развитой упругопластичности выражением

$$P_{кр} = 17,44 R^2 \theta^2 H^3, \quad (1)$$

где $\theta = (1 - \mu^2)E$; μ , E – коэффициент Пуассона и модуль Юнга, R – радиус сферического индентора, H – предельная твердость материала, практически всегда превышающая значение твердости по Бриггеллю HB .

Используя понятия контактного модуля упрочнения – пластической твердости HD и подобие деформационных характеристик, авторы [4] считают, что развитый пластический отпечаток (образование лунки) получается, когда эквивалентное напряжение в центре площадки контакта достигнет предела текучести σ_Y . При этом давление в центре площадки контакта достигнет значения

$$p_{ор} = \frac{2\sigma_Y}{1-2\mu}, \text{ а } P_{кр} = P_Y \text{ достигнет значе-}$$

ния

$$P_Y = \frac{\pi^3}{6} R^2 \theta^2 H D^3, \quad (2)$$

что в 3,375 раза меньше, чем по выражению (1).

Выражение (2) получено в предположении, что распределение нагрузки на площадке контакта является герцевским. Однако в работе [5] показано, что при упругопластическом внедрении сферы происходит перераспределение контактного давления. Если диаграмма вдавливания сферы имеет вид

$$P = Ch_0^n,$$

где h_0 – максимальное перемещение в контакте, C, n – константы, то распределение давления на площадке контакта описывается выражением

$$p(r) = p_0 \left(1 - \frac{r^2}{a^2}\right)^\beta, \quad (3)$$

где $\beta = \frac{n-1}{2}$, $p_0 = p_m(\beta+1)$, $p_m = \frac{P}{\pi a^2}$ –

среднее давление в контакте. Поэтому представляет значительный практический интерес определение напряженно-деформированного состояния полупространства при действии на него нагрузки, описываемой выражением (3). В работе [6] рассмотрены частные случаи напряженно-деформированного состояния при $\beta=0$ (равномерное распределение) и при $\beta=0,5$ (герцевское распределение).

Для значений β , равных 0,1; 0,3 и 0,5, распределение напряжений приведено на рис. 1.

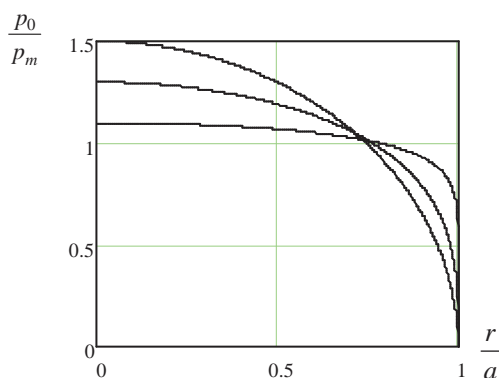


Рис. 1. Распределение контактных давлений при значениях β : 0,5; 0,3; 0,1.

В цилиндрической системе координат для осесимметричной нагрузки соотношения Гука имеют вид [6, 7]:

$$\left. \begin{aligned} \frac{\sigma_r}{2G} &= \varepsilon_r + \frac{\mu}{1-2\mu} e \\ \frac{\sigma_\varphi}{2G} &= \varepsilon_\varphi + \frac{\mu}{1-2\mu} e \\ \frac{\sigma_z}{2G} &= \varepsilon_z + \frac{\mu}{1-2\mu} e \\ \tau_z &= G \cdot \gamma \end{aligned} \right\} \quad (4)$$

$$\left. \begin{aligned} \varepsilon_r &= \frac{\partial u_r}{\partial r}; \varepsilon_\varphi = \frac{u_r}{r}; \varepsilon_z = \frac{\partial u_z}{\partial z}; \\ \gamma &= \frac{\partial u_r}{\partial z} + \frac{\partial u_z}{\partial r}; \\ e &= \varepsilon_z + \varepsilon_r + \varepsilon_\varphi; \end{aligned} \right\}$$

где $G = E/2(1+\mu)$ – модуль сдвига, $\sigma_r, \sigma_\varphi, \sigma_z$ – радиальные, окружные и осевые напряжения; u_z, u_r – осевые и радиальные перемещения.

Напряжение и перемещение от действия нормального давления, распределенного по области S поверхности полупространства, могут быть найдены посредством суперпозиции с использованием результатов для сосредоточенной силы. Так, для радиальных и осевых перемещений [7]

$$\bar{u}_r = -\frac{1-2\mu}{4\pi G} \cdot \frac{P}{r}, \quad \bar{u}_z = \frac{1-\mu}{2\pi G} \cdot \frac{P}{r}. \quad (5)$$

На рис. 2а показана нагруженная круговая область радиуса a .

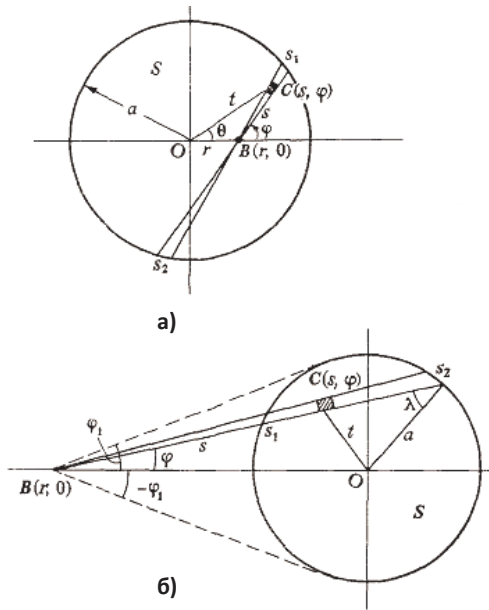


Рис. 2. К вычислению перемещений в точке B от нагрузки приложенной по круговой области: (а) во внутренней точке, (б) во внешней точке.

Интерпретируя давление $p(t)$ в точке C как сосредоточенную силу, с помощью выражения (5) найдем нормальное перемещение

$$\bar{u}_z = \frac{\theta}{\pi} \iint_S p(s, \varphi) ds d\varphi.$$

Учитывая, что $t^2 = r^2 + s^2 - 2rs \cos \varphi$, имеем

$$p(s, \varphi) = \frac{p_0}{a^{2\beta}} (c^2 - 2bs - s^2)^\beta,$$

где $c^2 = a^2 - r^2$, $b = r \cos \varphi$.

Выражение в скобках можно представить в виде

$$c^2 - 2bs - s^2 = (s_1 - s) \cdot (s - s_2),$$

где s_1, s_2 – действительные корни уравнения при $c \geq 0$,

$$s_{1,2} = -b \pm \sqrt{b^2 + c^2}.$$

Перемещение точек нагруженной области

$$\bar{u}_z(r) = \frac{2\theta p_0}{\pi a^{2\beta}} \int_0^{\frac{\pi}{2}} \int_{s_2}^{s_1} (s_1 - s)^\beta (s - s_2)^\beta ds d\varphi,$$

$$\bar{u}(r) = \theta p_0 a \frac{2^{2(\beta+1)}}{\pi} \times \times V(\beta+1, \beta+1) \int_0^{\frac{\pi}{2}} \left(1 - \frac{r^2}{a^2} \sin^2 \varphi\right)^{\beta+0,5} d\varphi \quad (6)$$

где $V(\alpha_1, \alpha_2)$ – бета-функция.

Для определения тангенциального перемещения в точке B , которое вследствие осевой симметрии должно быть радиальным, используем выражение (5). Давление на элементарной площадке в точке C вызывает тангенциальное перемещение в точке B , равное

$$\frac{1-2\mu}{1-\mu} \cdot \frac{\theta}{2\pi} p(t) ds d\varphi$$

и направленное от B к C . Радиальная составляющая этого перемещения есть

$$-\frac{1-2\mu}{1-\mu} \cdot \frac{\theta}{2\pi} p(t) \cos \varphi ds d\varphi.$$

Суммарное тангенциальное перемещение в точке B под действием полного распределения давлений равно

$$\bar{u}_r(r) = \frac{1-2\mu}{1-\mu} \cdot \frac{\theta p_0}{2\pi a^{2\beta}} \int_0^{\frac{\pi}{2}} \int_0^{s_1} (s_1 - s)^\beta (s - s_2)^\beta ds \cos \varphi d\varphi,$$

$$\bar{u}_r(r) = \theta p_0 a \cdot \frac{1-2\mu}{1-\mu} \times \times \left[-2^{2\beta+1} V(\beta+1, \beta+1) \cdot {}_2F_1\left(-\beta - \frac{1}{2}; \frac{1}{2}; \frac{3}{2}; \frac{r^2}{a^2}\right) + 2 \left(1 - \frac{r^2}{a^2}\right)^\beta \cdot \int_0^{\frac{\pi}{2}} (-b(\varphi) + c(\varphi)) \times \times {}_2F_1\left(-\beta, 1; \beta+2; \frac{-b(\varphi) + c(\varphi)}{-b(\varphi) - c(\varphi)}\right) \cos \varphi d\varphi; b(\varphi) = \frac{r}{a} \cos \varphi, c(\varphi) = \left(1 - \frac{r^2}{a^2} \sin^2 \varphi\right)^{\frac{1}{2}}, \quad (7a)$$

где ${}_2F_1(a, b, c, x)$ – гипергеометрическая функция Гаусса.

Когда точка B лежит вне круговой области нагружения (рис. 2б), пределы ин-

тегрирования по φ равны $\varphi_1 = \pm \arcsin \frac{a}{r}$.

В этом случае

$$\bar{u}_z(r) = \frac{2\theta p_0}{\pi a^{2\beta}} \int_0^s \int_{s_1}^s (s_2 - s)^\beta (s - s_1)^\beta ds ds_1,$$

$$\bar{u}_z(r) = \theta p_0 a \frac{2^{2\beta+1} B(\beta+1, \beta+1)}{\pi \cdot \frac{r}{a}} \times$$

$$\times B\left(\frac{1}{2}, \beta + \frac{3}{2}\right) \cdot {}_2F_1\left(\frac{1}{2}; \frac{1}{2}; \beta + 2; \frac{a^2}{r^2}\right) \quad (76)$$

Компоненты деформаций на поверхности

$\bar{\epsilon}_r = \partial \bar{u}_r / \partial r$ и $\bar{\epsilon}_\varphi = u_r / r$ можно определить из выражений (6) и (7). Для точек нагруженной области

$$\left. \begin{aligned} \frac{\bar{\sigma}_r}{p_m} &= \frac{\mu}{1-\mu} \frac{\bar{\sigma}_z}{p_m} + \frac{1}{\theta p_m a} \left(\frac{\partial \bar{u}_r(\rho)}{\partial \rho} + \mu \frac{\bar{u}_r(\rho)}{\rho} \right) \\ \frac{\bar{\sigma}_\varphi}{p_m} &= \frac{\mu}{1-\mu} \frac{\bar{\sigma}_z}{p_m} + \frac{1}{\theta p_m a} \left(\frac{\bar{u}_r(\rho)}{\rho} + \mu \frac{\partial \bar{u}_r(\rho)}{\partial \rho} \right) \\ \frac{\bar{\sigma}_z}{p_m} &= -(\beta+1)(1-\rho^2)^\beta, \quad \rho = \frac{r}{a} \end{aligned} \right\} (8)$$

Для определения напряжений внутри полупространства воспользуемся выражениями для напряжений от сосредоточенной силы [7]

$$\left. \begin{aligned} \sigma_r &= \frac{P}{2\pi} \left[(1-2\mu) \cdot \left(\frac{1}{r^2} - \frac{z}{\rho r^2} \right) - \frac{3zr^2}{\rho^5} \right] \\ \sigma_\theta &= -\frac{P}{2\pi} (1-2\mu) \cdot \left(\frac{1}{r^2} - \frac{z}{\rho r^2} - \frac{z}{\rho^3} \right) \\ \sigma_z &= -\frac{3P}{2\pi} \cdot \frac{z^3}{\rho^5} \end{aligned} \right\} (9)$$

Рассмотрим кольцевой элемент площадью $2\pi r dr$ и радиусом r . Нагрузка на кольцо равна $2\pi r p(r) dr$. Интегрируя по площади круга для σ_z , имеем

$$\sigma_z = -\frac{3z^3 p_0}{a^{2\beta}} \int_0^a r (a^2 - r^2)^\beta (r^2 + z^2)^{\frac{5}{2}} dr,$$

$$\frac{\sigma_z}{p_m} = -(\beta+1) \times$$

$$\times \left[{}_2F_1\left(-\beta, 1; -\frac{1}{2}; -\frac{z^2}{a^2}\right) + \right.$$

$$\left. + 2\sqrt{\pi} \frac{\Gamma(\beta+1)}{\Gamma(\beta+1,5)} \cdot (0,25 - \beta^2) \frac{z^3}{a^3} \left(1 + \frac{z^2}{a^2}\right)^{\beta+1} \right], \frac{z}{a} \leq 1 \quad (10)$$

$$\frac{\sigma_z}{p_m} = -\frac{3}{2} \cdot \frac{a^2}{z^2} \cdot {}_2F_1\left(1, \frac{5}{2}; \beta + 2; -\frac{a^2}{z^2}\right) \frac{z}{a} \geq 1$$

Из выражения (9) следует, что

$$\sigma_\Sigma = \sigma_r + \sigma_\varphi + \sigma_z = -\frac{P(1+\mu)z}{\pi \rho^3}.$$

Подставляя давление на кольцевой элемент $2\pi r dr$, получим

$$\sigma_\Sigma = -\frac{2(\mu+1)z p_0}{a^{2\beta}} \int_0^a r (a^2 - r^2)^\beta (r^2 + z^2)^{\frac{3}{2}} dr,$$

$$\frac{\sigma_\Sigma}{p_m} = -2(1+\mu)(1+\beta) \times$$

$$\times \left[{}_2F_1\left(-\beta, 1; \frac{1}{2}; -\frac{z^2}{a^2}\right) - \right.$$

$$\left. - \frac{\sqrt{\pi} \Gamma(\beta+1)}{\Gamma(\beta+0,5)} \cdot \frac{z}{a} \left(1 + \frac{z^2}{a^2}\right)^{\beta-0,5} \right], \frac{z}{a} \leq 1 \quad (11)$$

$$\frac{\sigma_\Sigma}{p_m} = -(1+\mu) \frac{a^2}{z^2} \cdot {}_2F_1\left(1, \frac{3}{2}; \beta + 2; -\frac{a^2}{z^2}\right),$$

$$\frac{z}{a} \geq 1$$

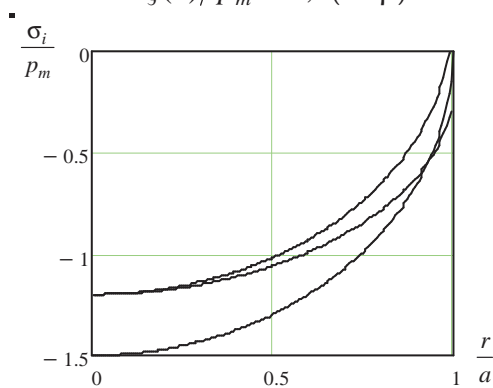
На оси z имеем $\sigma_r = \sigma_\varphi$, следовательно, из (10) и (11) имеем

$$\sigma_r = \sigma_\varphi = 0,5(\sigma_\Sigma - \sigma_z) \quad (12)$$

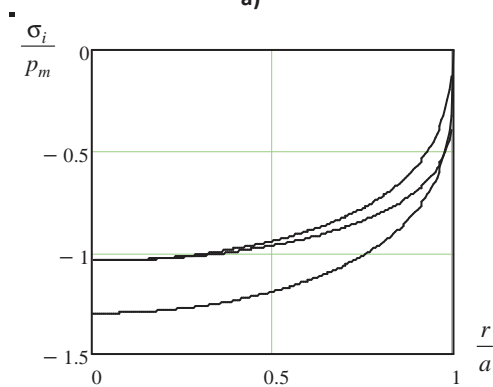
В области нагружения и на оси z напряжения σ_r , σ_φ , σ_z главные, причем, $\sigma_1 = \sigma_z$, $\sigma_2 = \sigma_\varphi$, $\sigma_3 = \sigma_r$. На рис. 3 представлены главные напряжения на нагруженной поверхности при значениях β , равных 0,5; 0,3; 0,1. На рис. 4 представ-

лены эквивалентные напряжения на нагруженной поверхности. На рис. 5 показаны главные (а) и эквивалентные (б) напряжения на оси z при тех же значениях β . Как было указано ранее, $\sigma_z(0)/p_m = (1 + \beta)$, что наблюдается также на рис. 3. Эквивалентные напряжения в центре круговой области также пропорциональны $(1 + \beta)$, при этом

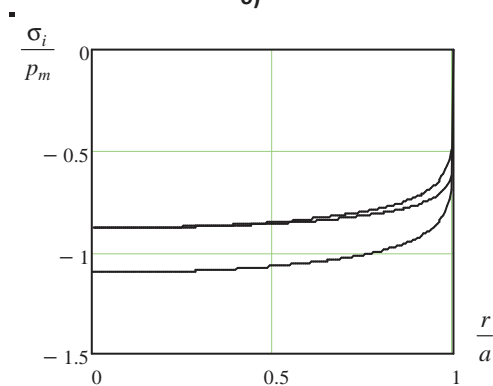
$$\sigma_3(0)/p_m = 0,2(1 + \beta).$$



а)



б)



в)

Рис. 3. Главные напряжения на площадке контакта при $\beta = 0,5$ (а), $\beta = 0,3$ (б) и $\beta = 0,1$ (в)

Представляет интерес нагрузка, при которой начинается пластическое течение в условиях сложного напряженного состояния, которая определяется пределом текучести σ_Y более мягкого материала на растяжение, входящим в соответствующий критерий текучести (пластичности). Задача отыскания критерия пластичности окончательно не решена. Все предложенные до сих пор критерии имеют ограниченную область применения. Наиболее близкое совпадение с экспериментальными данными по вдавливанию инденторов в упругопластичные среды показали энергетическая теория сдвиговой деформации Мизеса и теория максимальных касательных напряжений Треска.

По Мизесу:

$$\sigma_Y = \frac{1}{\sqrt{2}} \sqrt{(\sigma_1 - \sigma_2)^2 + (\sigma_2 - \sigma_3)^2 + (\sigma_3 - \sigma_1)^2}$$

По Треска:

$$\sigma_Y = \max(|\sigma_1 - \sigma_2|, |\sigma_2 - \sigma_3|, |\sigma_3 - \sigma_1|)$$

Различие двух критериев невелико, поэтому целесообразно использовать критерий Треска из-за его алгебраической простоты.

Третий критерий текучести известен как критерий максимального приведенного напряжения:

$$\frac{2}{3} \sigma_Y = \max[|\sigma - \sigma_1|, |\sigma - \sigma_2|, |\sigma - \sigma_3|],$$

где

$$\sigma = (\sigma_1 + \sigma_2 + \sigma_3)/3.$$

Критерий Треска и критерий приведенного напряжения образуют пределы, между которыми находится истинный критерий текучести [7].

Как следует из рис. 4 и рис. 5б, максимальные значения эквивалентных напряжений имеют место на оси Z. Согласно критерию максимального касательного напряжения Треска, пластическая деформация на оси Z соответствует эквивалентному напряжению

$$\sigma_3 = |\sigma_3 - \sigma_1| = 2\tau_{1\max} = \sigma_Y$$

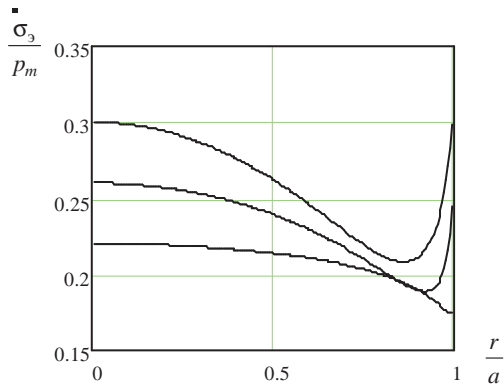
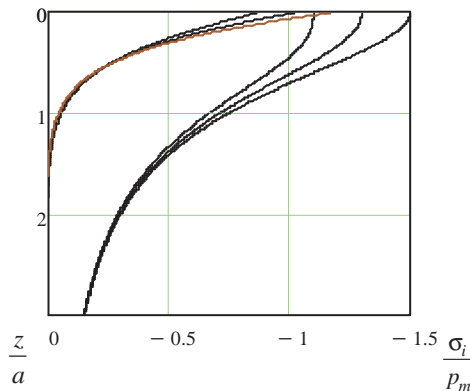
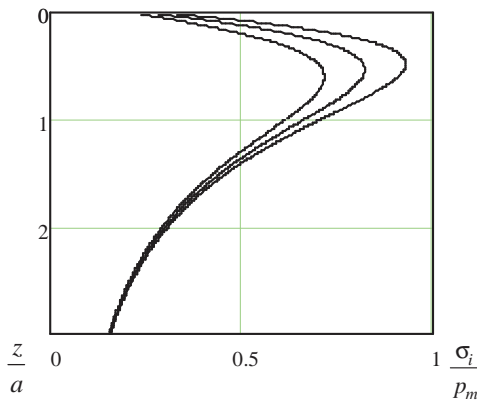


Рис. 4. Эквивалентные напряжения на площадке контакта при разных значениях β (кривые сверху вниз): 0,5; 0,3; 0,1



а)



б)

Рис. 5. Главные напряжения (а) и эквивалентные (б) напряжения на оси z при значениях β : (кривые слева направо) 0,1; 0,3; 0,5

Для $\beta = 0,5$ максимальное контактное давление, при котором $\sigma_3 = \sigma_Y$,

$$p_0 = 1.613\sigma_Y.$$

В общем случае максимальное контактное давление, при котором начинает-

ся пластическая деформация, можно представить выражением

$$p_{0p} = K_Y \sigma_Y,$$

где K_Y – константа.

В контактных задачах трибологии используют значение K_Y , близкое к 3. Очевидно, что при этом интерес представляет начало пластической деформации на поверхности контакта, чем можно объяснить, что значение $K_Y > 1.613$.

Наибольшее значение эквивалентное напряжение $\sigma_3(\rho)$ имеет на краю области нагружения, где оно незначительно превышает значение $\sigma_3(0)$ в центре области нагружения. Эквивалентное напряжение на краю области нагружения удобно представить:

$$\sigma_3(1) = K_\sigma \cdot \sigma_3(0).$$

Для $\beta = 0,5$ по энергетической теории сдвиговой деформации $K_\sigma = 1.16$, по теории максимальных касательных напряжений $K_\sigma = 1.33$, по теории максимального приведенного напряжения $K_\sigma = 1$. Для других значений β K_σ принимает иные значения.

Из анализа выражений (10), (11) и (12) при $\rho = 0$ следует

$$\sigma_3 = \frac{1-2\mu}{2} K_\sigma p_0 = \sigma_Y.$$

Тогда максимальное контактное давление в области нагружения, при котором имеет место пластическая деформация,

$$p_{0p} = \frac{2K_\sigma}{1-2\mu} \cdot \sigma_Y,$$

тогда $K_Y = \frac{2K_\sigma}{1-2\mu}$.

Данное выражение справедливо для всех значений β .

Таким образом, получены выражения, представляющие практический интерес при определении напряженно-деформированного состояния при нагружении упругопластического полупространства осесимметричной нагрузкой общего вида. При этом рассмотрены условия начала пластической деформации в приповерх-

ностном слое и на поверхности полупространства.

Литература

1. Воронин Н. А. Теоретическая модель упруго-пластического внедрения жесткой сферы (методологические основы оценки механических характеристик компактных однородных материалов методом кинетического инвентирования сферического индентора) // Трение и износ. 2003. № 1. С.16-26.

2. Матлин М. М., Лебский С. Л., Мозгунова А. И. Закономерности упругопластического контакта в задачах поверхностного пластического упрочнения. М.: Машиностроение – 1, 2007. 218 с.

3. Ланков А. А. Вероятность упругих и пластических деформаций при сжатии металлических шероховатых поверхностей // Трение и смазка в машинах и механизмах. 2009. № 3. С. 3 - 5.

4. Кузьменко А. Г. Пластический контакт тел двоякой кривизны – композиция методов: подобия (МП); приведенного радиуса (МПР); экспериментального теоретического равновесия (МЭТР) // Проблемы трибологии. 2009. № 1. С. 46 - 64.

5. Тимошенко С.П., Гудьер Дж. Теория упругости. М.: Наука, 1975. 576 с.

6. Джонсон К. Механика контактного взаимодействия. М.: Мир, 1989. 510 с.